

## ЛАЗЕРНОЕ ОКИСЛЕНИЕ И ОПТИЧЕСКИЕ СВОЙСТВА ИМПЛАНТИРОВАННЫХ МЕТАЛЛИЧЕСКИХ ЗЕРКАЛ

В.И. Конов, А.М. Прохоров, В.Г. Ральченко, Ю.И. Степанов,  
Н.И. Чаплиев, А.В. Ширков, М.И. Штанчаев

УДК. 535.21 : 539.12.04

Исследовано влияние имплантированных ионов серебра на окисление медных зеркал под действием излучения непрерывного  $\text{CO}_2$ -лазера. Обнаружено уменьшение скорости окисления в 2 раза по сравнению с чистой медью. Измерены поглощательная способность и оптическая стойкость зеркал.

Увеличение стойкости металлических зеркал, используемых в мощных лазерах ИК диапазона, к различного рода внешним воздействиям является актуальной задачей в связи с повышением выходных параметров таких лазеров.

Как правило, металлические зеркала располагаются в газовой среде того или иного состава. Действие лазерного излучения в этих условиях может приводить к активации химических реакций на межфазной поверхности и ухудшению оптических свойств зеркала за счет появления поглощающих излучение химических соединений на его поверхности. Примером такого рода явлений может служить окисление металлов под действием излучения непрерывных  $\text{CO}_2$ -лазеров [1].

В качестве эффективного средства улучшения коррозионных свойств металлов в последнее время рассматривается ионная имплантация [2]. Применительно к лазерной металлооптике этот метод использовался в работе [3], где исследовалась стойкость к разрушению импульсным излучением с длиной волны  $\lambda = 1,06 \text{ мкм}$  окисленных медных зеркал, имплантированных ионами алюминия. Указывалось на значительное замедление скорости окисления при ионной имплантации в результате образования под поверхностью защитного слоя, состоящего из  $\text{CuAlO}_2$ . Вопрос же об оптических свойствах ионно-имплантированных металлов практически не изучался.

В настоящей работе исследованы коррозионные и оптические (для  $\lambda = 10,6$  мкм) свойства медных зеркал, имплантированных ионами серебра, при воздействии на них излучением CO<sub>2</sub>-лазера.

Образцы представляли собой электрохимически полированные зеркала из меди МОО размерами 5 x 5 x 0,3 мм<sup>3</sup>, часть которых имплантировалась ионами Ag<sup>+</sup> (энергия 80 кэВ, доза 10<sup>16</sup> см<sup>-2</sup>, плотность тока 0,4 мкА/см<sup>2</sup>). Окисление проводилось в воздухе под действием непрерывного CO<sub>2</sub>-лазера ЛГ-25 мощностью около 30 Вт в течение 40 мин при температуре ≈ 200 °C, измеряемой термопарой.

Установлено /4/, что окисная пленка, выращенная в тех же условиях на чистой меди, представляет собой слой Cu<sub>2</sub>O толщиной около 500 Å. На длине волны  $\lambda = 10,6$  мкм такие пленки не изменяют поглощательную способность медного образца, которую определяли калориметрическим методом /1/.

Измерение профилей концентрации элементов проводилось на электронном спектрометре (ЭСХА) с использованием ионного травления (Ag<sup>+</sup>, энергия 1,5 кэВ, плотность тока 3 мкА/см<sup>2</sup>). Скорость ионного травления составляла 15–20 Å/час. Изучались линии Cu 2P<sub>3/2</sub>, Ag 3d<sub>5/2</sub>, O 1s.

На рис. 1 представлены зависимости концентраций элементов от времени ионного травления, полученные по интенсивностям соответствующих линий

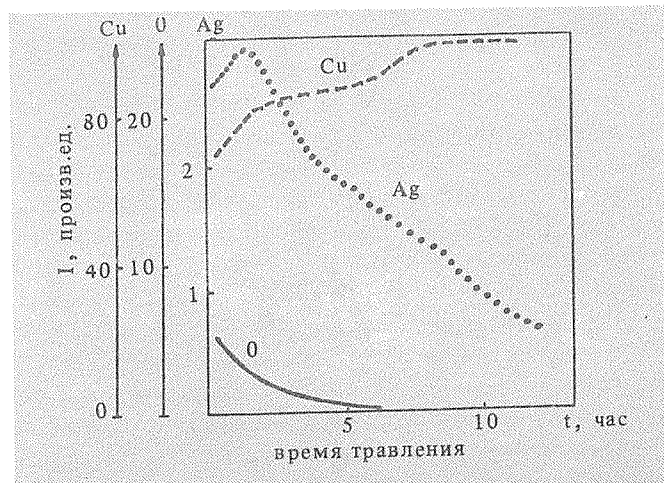


Рис. 1. Профили концентрации Cu, O и Ag: неокисленная имплантированная медь.

для неокисленного образца, имплантированного ионами  $\text{Ag}^+$ . Максимум распределения серебра находится на глубине  $\sim 40 \text{ \AA}$ , в то время как проецированный пробег  $R_p \approx 150 \text{ \AA}$  [5]. Этот факт указывает на сильное распыление в процессе имплантации. Действительно, толщина распыляемого слоя равна  $d = \gamma N_D / N \approx 300 \text{ \AA}$ , где  $\gamma$  — коэффициент распыления ( $\gamma_{\text{Cu}} \approx 25$ ,  $\gamma_{\text{Ag}} \approx 30$  [6]);  $N_D$  — доза;  $N$  — атомная плотность Cu. Отношение  $d/R_p \approx 2$  означает, что при дозе  $10^{16} \text{ см}^{-2}$  достигается концентрация Ag близкая к предельной:  $N_{\text{Ag}}/N_{\text{Cu}} = \gamma^{-1} \approx 3 \text{ ат\%}$ .

Сравнение профилей концентрации элементов в окисленных неимплантированном (рис. 2) и имплантированном (рис. 3) образцах показывает, что в присутствии серебра толщина окисной пленки уменьшается примерно вдвое. Профиль концентрации кислорода резко обрывается вблизи максимума распределения Ag, что свидетельствует о блокировании атомами добавки диффузии меди к границе окисел — воздух.

По-видимому, можно еще более замедлить скорость окисления путем увеличения максимальной концентрации Ag (определенной величиной коэффициента распыления), для чего следует использовать ионы меньших энергий.

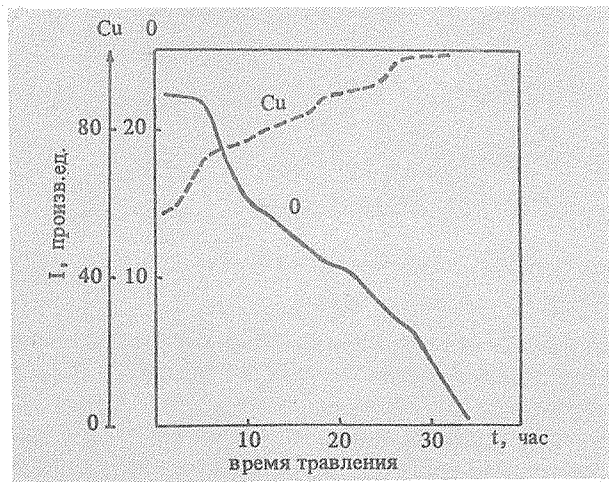


Рис. 2. Профили концентрации Cu и O: окисленная неимплантированная медь.

Важно отметить, что улучшенные коррозионные свойства получены без существенного увеличения поглощательной способности А ионно-имплантированных зеркал (дополнительное поглощение связано с образованием радиационных дефектов и, возможно, микронеровностей поверхности при ионном распылении). Величина А образцов до имплантации находилась в пределах 0,85–0,95%. После имплантации поглощение возрастало до 1,15–1,25%, но после окисления выходило на уровень А = 1,10%, что можно объяснить отжигом радиационных дефектов в приповерхностном слое металла. Следует ожидать, что предварительный термический или импульсный отжиг позволит улучшить оптические свойства ионно-имплантированных зеркал, сохранив в то же время их высокую стойкость к окислению.

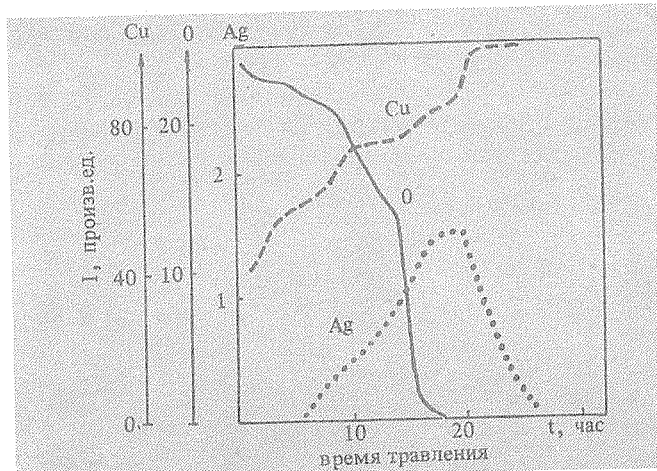


Рис. 3. Профили концентрации Cu, O и Ag: окисленная имплантированная медь.

Наряду с исследованием коррозионной стойкости имплантированных образцов были проведены измерения порогов оптического пробоя воздуха при воздействии импульсного лазерного излучения ( $\lambda = 10,6$  мкм, длительность импульса  $t \approx 1,3$  мкс, площадь пятна облучения  $10^{-2}$  см<sup>2</sup>) на их поверхность. Пороги поджигания плазмы определялись при облучении одного и того же участка поверхности образца последовательностью импульсов с постепенно повышающейся плотностью энергии  $E_s$ . Оказалось, что как ионная имплантация, так и последующее окисление практически не снижают порогов плазмообразования, которые держатся на уровне  $E_s^{\text{пор}} = 5-8$  Дж/см<sup>2</sup>.

Таким образом, метод ионной имплантации позволяет без ухудшения оптических свойств зеркал и их стойкости к импульсному лазерному воздействию значительно повысить устойчивость поверхности к коррозионным процессам.

Авторы благодарны В.С. Вавилову и В.А. Дравину за приготовление имплантированных образцов.

Институт общей физики АН СССР

Поступила в редакцию 20 мая 1985 г.

#### Л И Т Е Р А Т У Р А

1. Арзуков М.И. и др. Квантовая электроника, 6, 466 (1979).
2. Dearnley G. Proc. Int. Conf. on Application of Ion Beams to Metals (Albuquerque, USA, 1973), eds. Picraux S.T., Eer-Nisse E.P., Vook F.L., Plenum Press, 1974, p. 63.
3. Oron M., Svendsen L.G., Sorensen G. NBS Spec. Publ., N 568 (1979).
4. Ursu I. et al. Appl. Phys. Lett., 44, 188 (1984).
5. Буренков А.Ф. и др. Таблицы параметров пространственного распределения ионно-имплантированных примесей. Минск. изд-во БГУ, 1980.
6. Плевицев Н.В. Катодное распыление. М., Атомиздат, 1968.